

Starkniederschlagshöhen und -spenden gemäß KOSTRA-DWD-2020

Rasterfeld 141132

(Zeile 141, Spalte 132)

Regenspende und Bemessungsniederschlagswerte in Abhängigkeit von Wiederkehrzeit T und Dauerstufe D

| Dauerstufe D | | Wiederkehrzeit T | | | | | | | | | | | | | | | | | |
|--------------|-----|------------------|------------|------|------------|------|------------|------|------------|-------|------------|-------|------------|-------|------------|-------|------------|-------|------------|
| | | 1 a | | 2 a | | 3 a | | 5 a | | 10 a | | 20 a | | 30 a | | 50 a | | 100 a | |
| min | Std | mm | l / (s ha) | mm | l / (s ha) | mm | l / (s ha) | mm | l / (s ha) | mm | l / (s ha) | mm | l / (s ha) | mm | l / (s ha) | mm | l / (s ha) | mm | l / (s ha) |
| 5 | | 5,9 | 196,7 | 7,4 | 246,7 | 8,4 | 280,0 | 9,6 | 320,0 | 11,4 | 380,0 | 13,3 | 443,3 | 14,5 | 483,3 | 16,1 | 536,7 | 18,4 | 613,3 |
| 10 | | 8,2 | 136,7 | 10,3 | 171,7 | 11,7 | 195,0 | 13,4 | 223,3 | 15,9 | 265,0 | 18,5 | 308,3 | 20,2 | 336,7 | 22,4 | 373,3 | 25,6 | 426,7 |
| 15 | | 9,6 | 106,7 | 12,2 | 135,6 | 13,7 | 152,2 | 15,8 | 175,6 | 18,7 | 207,8 | 21,8 | 242,2 | 23,7 | 263,3 | 26,4 | 293,3 | 30,1 | 334,4 |
| 20 | | 10,7 | 89,2 | 13,5 | 112,5 | 15,2 | 126,7 | 17,5 | 145,8 | 20,7 | 172,5 | 24,1 | 200,8 | 26,3 | 219,2 | 29,2 | 243,3 | 33,4 | 278,3 |
| 30 | | 12,2 | 67,8 | 15,4 | 85,6 | 17,4 | 96,7 | 20,0 | 111,1 | 23,7 | 131,7 | 27,6 | 153,3 | 30,1 | 167,2 | 33,4 | 185,6 | 38,1 | 211,7 |
| 45 | | 13,8 | 51,1 | 17,4 | 64,4 | 19,7 | 73,0 | 22,6 | 83,7 | 26,8 | 99,3 | 31,2 | 115,6 | 34,0 | 125,9 | 37,8 | 140,0 | 43,1 | 159,6 |
| 60 | 1 | 15,0 | 41,7 | 18,9 | 52,5 | 21,3 | 59,2 | 24,5 | 68,1 | 29,1 | 80,8 | 33,9 | 94,2 | 37,0 | 102,8 | 41,0 | 113,9 | 46,8 | 130,0 |
| 90 | 1,5 | 16,8 | 31,1 | 21,2 | 39,3 | 23,9 | 44,3 | 27,4 | 50,7 | 32,6 | 60,4 | 37,8 | 70,0 | 41,3 | 76,5 | 45,8 | 84,8 | 52,4 | 97,0 |
| 120 | 2 | 18,1 | 25,1 | 22,8 | 31,7 | 25,8 | 35,8 | 29,6 | 41,1 | 35,1 | 48,8 | 40,9 | 56,8 | 44,6 | 61,9 | 49,5 | 68,8 | 56,5 | 78,5 |
| 180 | 3 | 20,1 | 18,6 | 25,4 | 23,5 | 28,6 | 26,5 | 32,9 | 30,5 | 39,0 | 36,1 | 45,4 | 42,0 | 49,5 | 45,8 | 55,0 | 50,9 | 62,8 | 58,1 |
| 240 | 4 | 21,7 | 15,1 | 27,3 | 19,0 | 30,8 | 21,4 | 35,4 | 24,6 | 42,0 | 29,2 | 48,9 | 34,0 | 53,3 | 37,0 | 59,2 | 41,1 | 67,6 | 46,9 |
| 360 | 6 | 24,0 | 11,1 | 30,2 | 14,0 | 34,1 | 15,8 | 39,2 | 18,1 | 46,5 | 21,5 | 54,1 | 25,0 | 59,1 | 27,4 | 65,5 | 30,3 | 74,8 | 34,6 |
| 540 | 9 | 26,5 | 8,2 | 33,5 | 10,3 | 37,7 | 11,6 | 43,4 | 13,4 | 51,5 | 15,9 | 59,9 | 18,5 | 65,3 | 20,2 | 72,5 | 22,4 | 82,8 | 25,6 |
| 720 | 12 | 28,5 | 6,6 | 35,9 | 8,3 | 40,5 | 9,4 | 46,6 | 10,8 | 55,3 | 12,8 | 64,3 | 14,9 | 70,2 | 16,3 | 77,9 | 18,0 | 88,9 | 20,6 |
| 1080 | 18 | 31,5 | 4,9 | 39,7 | 6,1 | 44,8 | 6,9 | 51,5 | 7,9 | 61,1 | 9,4 | 71,0 | 11,0 | 77,5 | 12,0 | 86,1 | 13,3 | 98,3 | 15,2 |
| 1440 | 24 | 33,8 | 3,9 | 42,6 | 4,9 | 48,1 | 5,6 | 55,3 | 6,4 | 65,6 | 7,6 | 76,3 | 8,8 | 83,2 | 9,6 | 92,4 | 10,7 | 105,5 | 12,2 |
| 2880 | 48 | 40,1 | 2,3 | 50,5 | 2,9 | 57,0 | 3,3 | 65,5 | 3,8 | 77,7 | 4,5 | 90,4 | 5,2 | 98,6 | 5,7 | 109,5 | 6,3 | 125,0 | 7,2 |
| 4320 | 72 | 44,2 | 1,7 | 55,8 | 2,2 | 62,9 | 2,4 | 72,3 | 2,8 | 85,9 | 3,3 | 99,8 | 3,9 | 108,9 | 4,2 | 120,9 | 4,7 | 138,1 | 5,3 |
| 5760 | 96 | 47,5 | 1,4 | 59,9 | 1,7 | 67,5 | 2,0 | 77,6 | 2,2 | 92,1 | 2,7 | 107,1 | 3,1 | 116,9 | 3,4 | 129,7 | 3,8 | 148,1 | 4,3 |
| 7200 | 120 | 50,1 | 1,2 | 63,2 | 1,5 | 71,3 | 1,7 | 81,9 | 1,9 | 97,3 | 2,3 | 113,1 | 2,6 | 123,4 | 2,9 | 137,0 | 3,2 | 156,4 | 3,6 |
| 8640 | 144 | 52,4 | 1,0 | 66,1 | 1,3 | 74,5 | 1,4 | 85,7 | 1,7 | 101,7 | 2,0 | 118,2 | 2,3 | 129,0 | 2,5 | 143,2 | 2,8 | 163,5 | 3,2 |
| 10080 | 168 | 54,4 | 0,9 | 68,6 | 1,1 | 77,4 | 1,3 | 89,0 | 1,5 | 105,6 | 1,7 | 122,8 | 2,0 | 134,0 | 2,2 | 148,7 | 2,5 | 169,8 | 2,8 |

Starkniederschlagshöhen und -spenden gemäß KOSTRA-DWD-2020

Rasterfeld 141132

(Zeile 141, Spalte 132)

Örtliche Unsicherheiten in Abhängigkeit von Wiederkehrzeit T und Dauerstufe D

| Dauerstufe D | | Wiederkehrzeit T | | | | | | | | |
|--------------|-----|------------------|-----|-----|-----|------|------|------|------|-------|
| | | 1 a | 2 a | 3 a | 5 a | 10 a | 20 a | 30 a | 50 a | 100 a |
| min | Std | ± % | ± % | ± % | ± % | ± % | ± % | ± % | ± % | ± % |
| 5 | | 12 | 11 | 12 | 12 | 12 | 13 | 13 | 13 | 14 |
| 10 | | 12 | 13 | 14 | 15 | 16 | 17 | 17 | 18 | 18 |
| 15 | | 13 | 16 | 16 | 17 | 19 | 19 | 20 | 20 | 21 |
| 20 | | 15 | 17 | 18 | 19 | 20 | 21 | 22 | 22 | 23 |
| 30 | | 16 | 18 | 20 | 21 | 22 | 23 | 23 | 24 | 24 |
| 45 | | 17 | 19 | 20 | 22 | 23 | 24 | 24 | 25 | 25 |
| 60 | 1 | 17 | 20 | 21 | 22 | 23 | 24 | 24 | 25 | 26 |
| 90 | 1,5 | 17 | 19 | 20 | 21 | 23 | 24 | 24 | 25 | 25 |
| 120 | 2 | 17 | 19 | 20 | 21 | 22 | 23 | 24 | 24 | 25 |
| 180 | 3 | 16 | 18 | 19 | 20 | 22 | 23 | 23 | 24 | 24 |
| 240 | 4 | 15 | 18 | 19 | 20 | 21 | 22 | 22 | 23 | 23 |
| 360 | 6 | 15 | 17 | 18 | 19 | 20 | 21 | 21 | 22 | 22 |
| 540 | 9 | 14 | 16 | 17 | 18 | 19 | 20 | 20 | 21 | 21 |
| 720 | 12 | 13 | 15 | 16 | 17 | 18 | 19 | 20 | 20 | 21 |
| 1080 | 18 | 13 | 15 | 16 | 16 | 17 | 18 | 19 | 19 | 20 |
| 1440 | 24 | 13 | 14 | 15 | 16 | 17 | 18 | 18 | 19 | 19 |
| 2880 | 48 | 13 | 14 | 15 | 15 | 16 | 17 | 17 | 17 | 18 |
| 4320 | 72 | 14 | 14 | 15 | 15 | 16 | 16 | 17 | 17 | 17 |
| 5760 | 96 | 14 | 14 | 15 | 15 | 16 | 16 | 16 | 17 | 17 |
| 7200 | 120 | 15 | 15 | 15 | 15 | 16 | 16 | 16 | 17 | 17 |
| 8640 | 144 | 15 | 15 | 15 | 15 | 16 | 16 | 16 | 17 | 17 |
| 10080 | 168 | 16 | 15 | 15 | 16 | 16 | 16 | 17 | 17 | 17 |

Parameter für abweichende T und D

Lokationsparameter ξ (Xi)

15,60408733

Skalenparameter α (Alpha)

5,65847894

Formparameter κ (Kappa)

-0,1

1. Koutsoyiannis-Parameter θ (Theta)

0,05180534

2. Koutsoyiannis-Parameter η (Eta)

0,7560163

Parameter für dauerstufenübergreifende Extremwertschätzung nach KOUTSOYIANNIS et al. 1998.

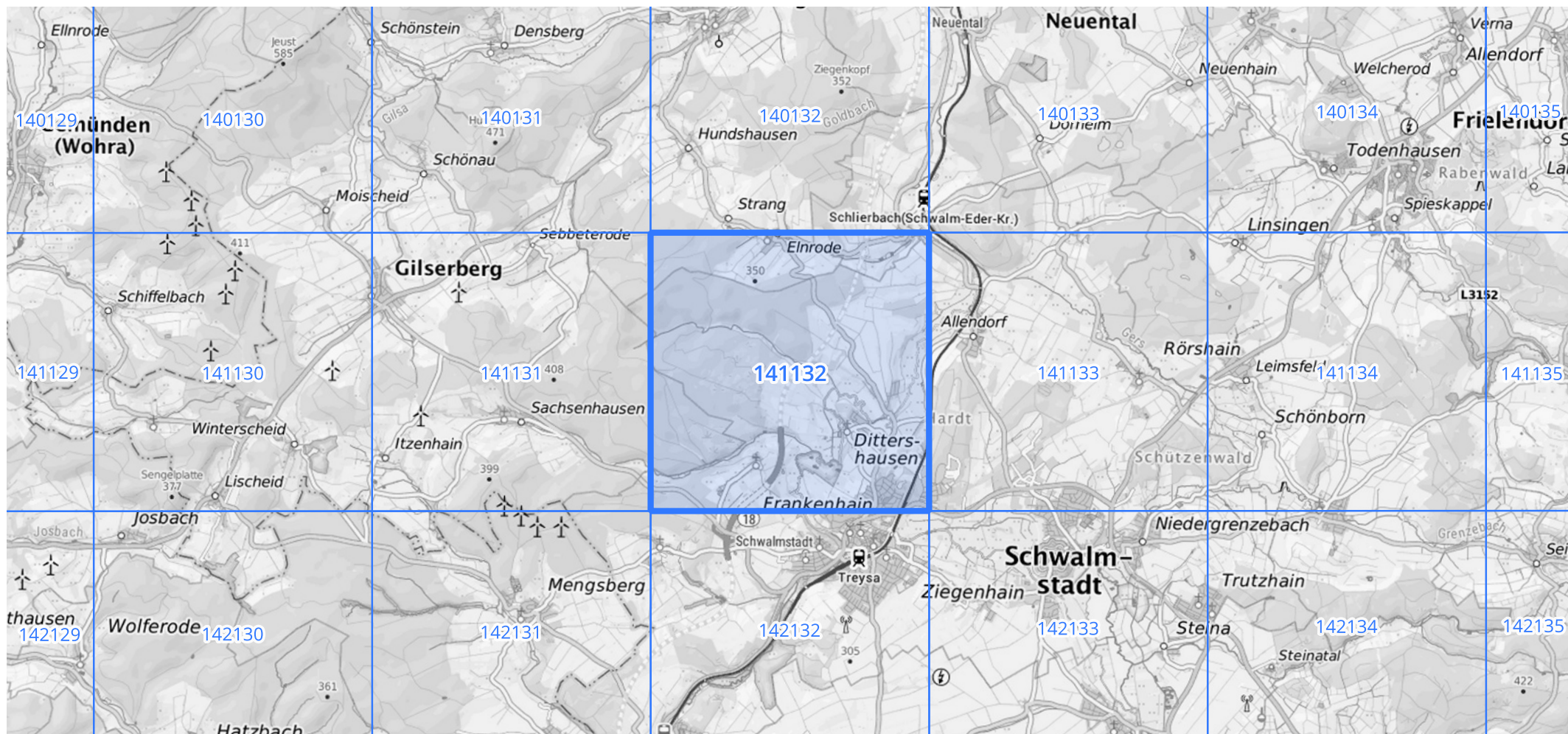
Siehe auch Anwendungshilfe zu KOSTRA-DWD-2020 des Deutschen Wetterdienstes.

Starkniederschlagshöhen und -spenden gemäß KOSTRA-DWD-2020

Rasterfeld 141132

(Zeile 141, Spalte 132)

Übersichtskarte des Rasterfeldes 141132, M 1 : 100 000



Quelle Rasterdaten: KOSTRA-DWD-2020 des Deutschen Wetterdienstes, Stand 12/2022.

Seite 3 von 3

Kartendarstellung: © Bundesamt für Kartographie und Geodäsie (2023), Datenquellen: https://sgx.geodatenzentrum.de/web_public/gdz/datenquellen/Datenquellen_TopPlusOpen.html

Für die Richtigkeit und Aktualität der Angaben wird keine Gewähr übernommen. Erstellt 01/2023.